

J. BARON
P. M'FINA

**OFFICE DE LA RECHERCHE
SCIENTIFIQUE ET TECHNIQUE
OUTRE-MER**

CENTRE DE POINTE-NOIRE

OCÉANOGRAPHIE

**RAPPORT DE MER
des Campagnes
Chalutage NIZ 41-75
et
Crevettes NIZ 42-75
25-26 Septembre 1975**

R a p p o r t d e M e r
des Campagnes
Chalut NIZ 41-75 et Crevettes NIZ 42-75
25-26 Septembre 1975

par

J. BARON et P. M'FINA

Document N° 593 S.R.
20 Octobre 1975

26-09-75 05h20 Route cc 335.
 06h15 Ch. 5 : 150 → 300 m, 4°58'S.
 07h20 Viré : 4 bacs, 11 kg P. longirostris.
 08h10 Route cc 40.
 12h30 Ch. 6 : Kouilou 9 m.
 13h25 Viré : environ 30 bacs, 45 kg crevettes Parapenaeopsis.
 16h15 A quai Pointe-Noire.

Conclusions

Parapenaeus longirostris

90 mètres :

Deux traits de chalut ont été effectués à cette profondeur. Le premier a duré une heure et n'a permis de ramener que 300 g de P. longirostris. Le second dura 1h30 et le bateau avançait légèrement moins vite, ce qui permit de ramener 2,6 kg de P. longirostris. Cependant, le chalut rempli de vase fut difficile à remonter.

Les courbes obtenues grâce à ces échantillons sont unimodales, celle des mâles a son maximum à 18,5 mm, celle des femelles à 22,5 mm.

150 mètres :

♂ : un mode à 17 mm.

♀ : un mode à 17,5 - 22 mm.

150 → 300 mètres :

♂ : un pic très net à 21,25 mm, 2 petits pics vers 16,5 mm et 26,5 mm.

♀ : un mode très étalé avec un maximum à 25,5 mm.

A. varidens

Un trait de 2 heures sur les fonds de 500 m a permis de capturer 11 kg de ces crevettes.

Un sous-échantillon de 1,8 kg a été mesuré. Il contenait 198 mâles et seulement quelques femelles. Pour obtenir un nombre plus important de femelles nous avons mesuré toutes celles capturées.

♂ : un mode unique centré sur 26,5 mm.

♀ : sans doute deux modes, un à 32 mm, l'autre vers 40 mm.

90 mètres

LC (mm)	Mâles				Femelles			
	Nbre	%	$\bar{M}(3)$	%	Nbre	%	$\bar{M}(3)$	%
10	1	0,7	1	0,7				
11	1	0,7	1	0,7				
12	1	0,7	1	0,7			1	0,3
13	1	0,7	3	2,1	4	1,3	2	0,6
14	8	5,7	7	5,0	3	1,0	6	1,9
15	11	7,9	13	9,3	10	3,2	6	1,9
16	20	14,3	24	17,1	5	1,6	9	2,9
17	40	28,6	29	20,7	11	3,5	11	3,5
18	26	18,6	30	21,4	18	5,8	17	5,4
19	24	17,1	19	13,6	21	6,7	21	6,7
20	6	4,3	10	7,1	24	7,7	29	9,3
21	1	0,7	2	1,4	42	13,5	34	10,9
22					37	11,9	36	11,5
23					29	9,3	34	10,9
24					35	11,2	30	9,6
25					27	8,7	28	9,0
26					22	7,1	21	6,7
27					14	4,5	15	4,8
28					8	2,6	7	2,3
29							3	1,0
30					2	0,6	1	0,3
31							1	0,3
Total	140	100,0	140	100	312	100	312	100

Tableau I. Distribution de fréquence des longueurs céphalothoraciques de P. longirostris.

150 mètres

LC (mm)	Mâles				Femelles			
	Nbre	%	$\bar{M}(3)$	%	Nbre	%	$\bar{M}(3)$	%
10					1	0,6		
11			2	2,8			1	0,6
12	5	7,0	4	5,6	3	1,9	2	1,2
13	6	8,5	6	8,5	3	1,9	4	2,5
14	8	11,3	8	11,3	7	4,3	7	4,3
15	11	15,5	10	14,1	10	6,2	11	6,8
16	12	16,9	14	19,7	15	9,3	13	8,1
17	18	25,4	12	16,9	13	8,1	14	8,7
18	6	8,5	8	11,3	15	9,3	13	8,1
19	1	1,4	3	4,2	10	6,2	11	6,8
20	1	1,4	1	1,4	8	5,0	10	6,2
21	1	1,4	1	1,4	13	8,1	12	7,5
22	1	1,4	1	1,4	14	8,7	15	9,3
23	1	1,4	1	1,4	18	11,2	13	8,1
24					7	4,3	14	8,7
25					16	9,9	8	5,0
26					2	1,2	8	5,0
27					6	3,7	3	1,9
28							2	1,2
Total	71	100	71	100,0	161	100	161	100,0

Tableau II. Distribution de fréquence des longueurs céphalothoraciques de P. longirostris.

$\bar{M}(3)$ = moyenne mobile sur 3 valeurs.

150 → 300 mètres

LC (mm)	Mâles				Femelles			
	Nbre	%	$\bar{L}(3)$	%	Nbre	%	$\bar{L}(3)$	%
11					1	0,3	1	0,3
12			2	0,6	1	0,3	2	0,6
13	5	1,4	3	0,8	3	0,8	2	0,6
14	5	1,4	6	1,7	3	0,8	4	1,1
15	7	2,0	7	2,0	6	1,7	7	2,0
16	8	2,3	9	2,5	12	3,4	12	3,4
17	11	3,1	11	3,1	18	5,0	14	3,9
18	13	3,7	20	5,6	11	3,1	17	4,8
19	35	9,9	36	10,1	22	6,2	19	5,3
20	61	17,2	55	15,5	23	6,4	23	6,5
21	70	19,7	60	16,9	25	7,0	23	6,5
22	50	14,1	47	13,2	21	5,9	25	7,0
23	22	6,2	27	7,6	29	8,1	28	7,9
24	8	2,3	14	3,9	35	9,8	29	8,1
25	12	3,4	13	3,7	24	6,7	30	8,4
26	19	5,4	13	3,7	31	8,7	26	7,3
27	8	2,3	11	3,1	24	6,7	24	6,7
28	7	2,0	7	2,0	17	4,8	19	5,3
29	7	2,0	6	1,7	16	4,5	15	4,2
30	3	0,8	4	1,1	13	3,6	14	3,9
31	2	0,6	2	0,6	14	3,9	11	3,1
32	2	0,6	1	0,3	5	1,4	7	2,0
33			1	0,3	2	0,6	3	0,8
34					1	0,3	1	0,3
Total	355	100	355	100,0	357	100,0	356	100,0

NIZ 42-75. Tableau III. Distribution de fréquence des longueurs céphalothoraciques de P. longirostris.

500 mètres

LC (mm)	Mâles				Femelles			
	Nbre	%	$\bar{L}(3)$	%	Nbre	%	$\bar{L}(3)$	%
20			1	0,5				
21	2	1,0	3	1,5				
22	8	4,0	6	3,0				
23	9	4,5	14	7,1				
24	26	13,1	25	12,6				
25	41	20,7	36	18,2				
26	40	20,2	43	21,7				
27	48	24,2	36	18,2				
28	19	9,6	24	12,1			1	0,8
29	4	2,0	8	4,0	3	2,4	3	2,4
30	1	0,5	2	1,0	6	4,8	7	5,7
31					11	8,9	9	7,3
32					11	8,9	10	8,1
33					7	5,6	8	6,5
34					6	4,8	6	4,9
35					6	4,8	8	6,5
36					13	10,5	9	7,3
37					7	5,6	10	8,1
38					11	8,9	11	8,9
39					14	11,3	12	9,8
40					12	9,7	12	9,8
41					10	8,1	8	6,5
42					3	2,4	5	4,1
43					1	0,8	2	1,6
44					2	1,6	1	0,8
45					1	0,8	1	0,8
Total	138	100	198	100	124	100	123	100

Tableau IV. Distribution de fréquence des longueurs céphalothoraciques de A. varidens.

N.B. Toutes les femelles capturées ont été mesurées, les mâles proviennent d'un sous échantillon de 1,8 kg.

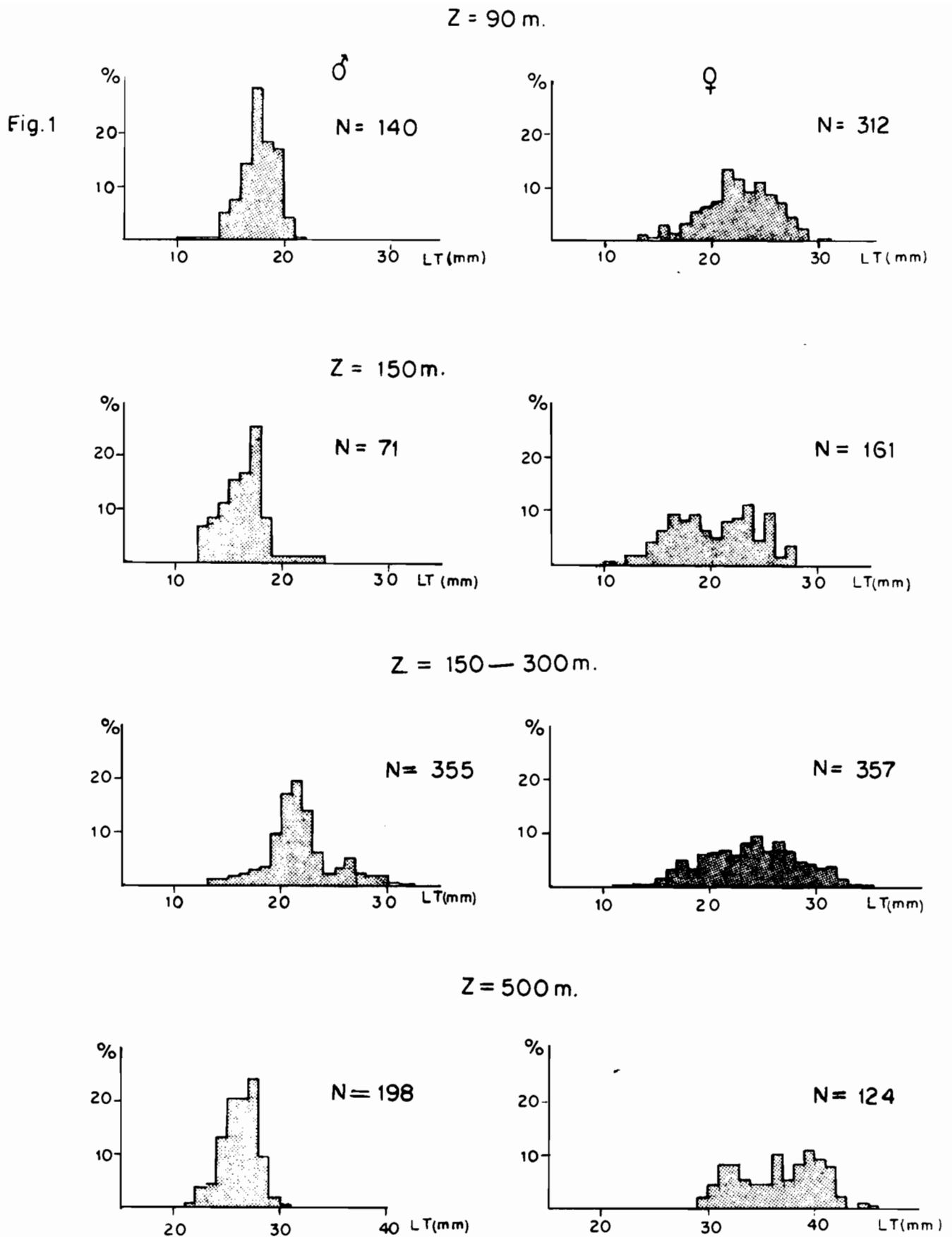
LF cm	POINTE-NOIRE		KOUILOU	
	N	%	N	%
7	8	8,6	5	8,9
8	25	26,9	16	28,5
9	20	21,5	12	21,4
10	13	14,0	2	3,6
11	15	16,1	2	3,6
12	7	7,5	2	3,6
13	5	5,4	2	3,6
14			4	7,1
15			3	5,3
16			2	3,6
17			2	3,6
18			1	1,8
19			1	1,8
20			1	1,8
21			1	1,8
TOTAL	93	100,0	56	100,0

NIZ 41-75 - Distribution des Longueurs museau-Fourche de la Queue de Pentanemus quinquarius (Barbillons)

LF cm	POINTE-NOIRE		KOUILOU	
	N	%	N	%
3			1	0,1
4			1	0,1
5	3	1,4	25	3,6
6	31	14,7	85	12,4
7	34	16,1	75	11,0
8	10	4,7	19	2,8
9	7	3,3	17	2,5
10	4	1,9	31	4,5
11	17	8,0	45	6,6
12	11	5,2	59	8,6
13	13	6,2	111	16,2
14	11	5,2	63	9,2
15	13	6,2	67	9,8
16	18	8,5	53	7,7
17	24	11,4	17	2,5
18	10	4,7	8	1,2
19	2	1,0	6	0,9
20	2	1,0	2	0,3
21	1	0,5		
TOTAL	211	100,0	685	100,0

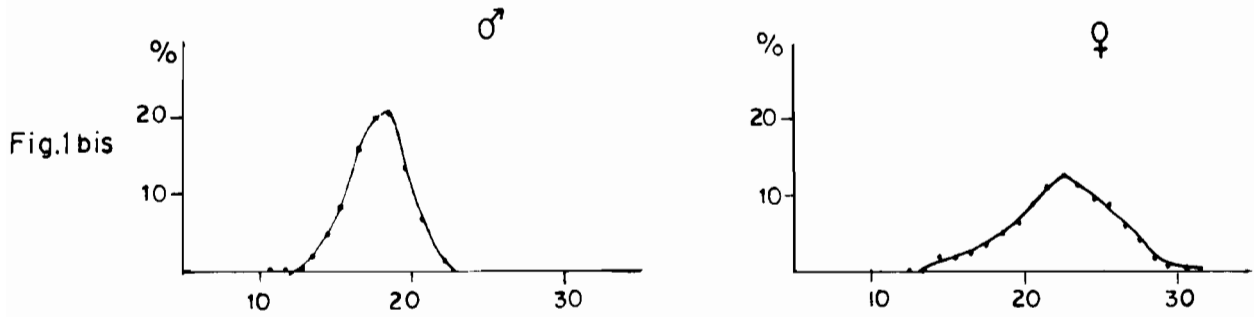
NIZ 41-75 - Distribution des Longueurs totales de Pteroscion peli (Madongos)

LT cm	POINTE-NOIRE		KOUILOU	
	N	%	N	%
6			1	0,5
7				
8	3	0,7		
9	21	5,0	1	0,5
10	40	9,4	4	2,2
11	54	12,7	23	12,7
12	45	10,6	22	12,2
13	33	7,8	32	17,7
14	40	9,4	28	15,5
15	74	17,4	28	15,5
16	66	15,5	27	14,9
17	24	5,6	8	4,4
18	16	3,8	3	1,7
19	7	1,6	3	1,7
20	2	0,5	1	0,5
TOTAL	425	100,0	181	100,0

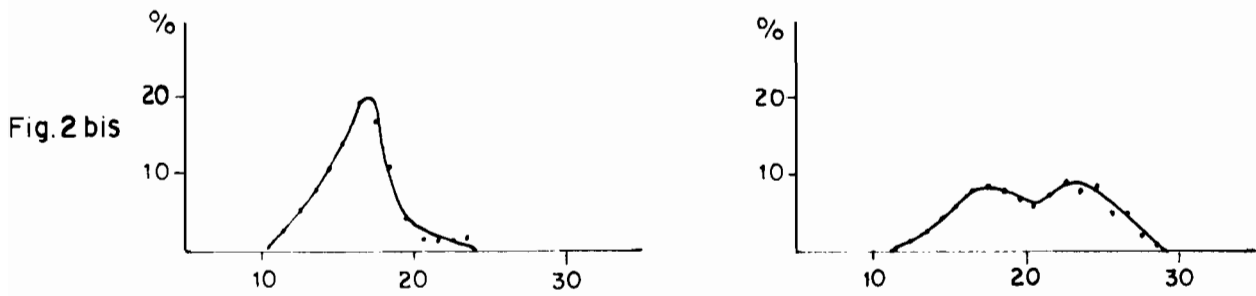


Distributions de fréquence des longueurs cephalothoraciques
 de Fig.1-2-3 *Parapeneaeus longirostris*
 Fig. 4 – *Aristeus varidens*

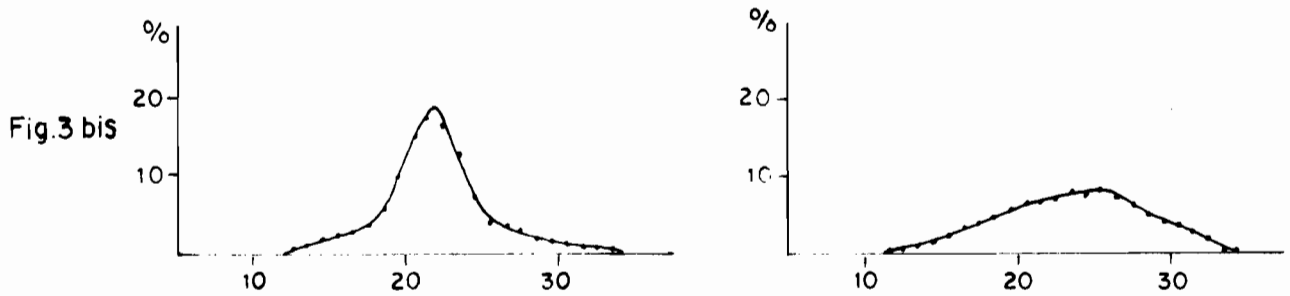
Z = 90 m.



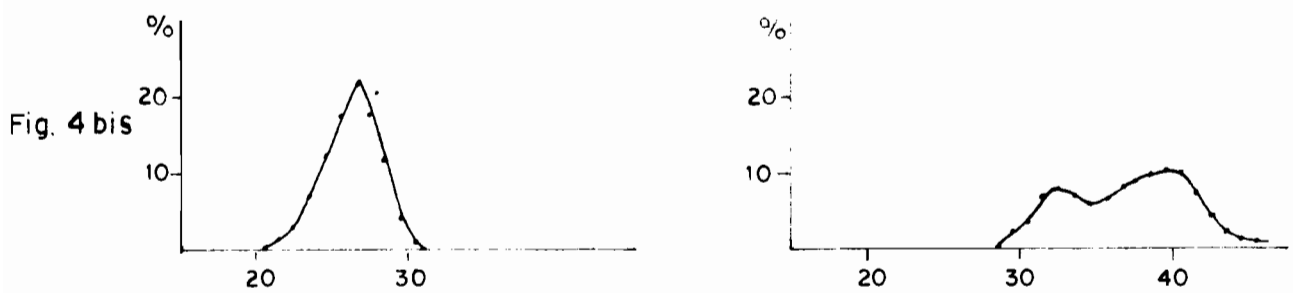
Z = 150 m



Z = 150 → 300 m.



Z = 500 m

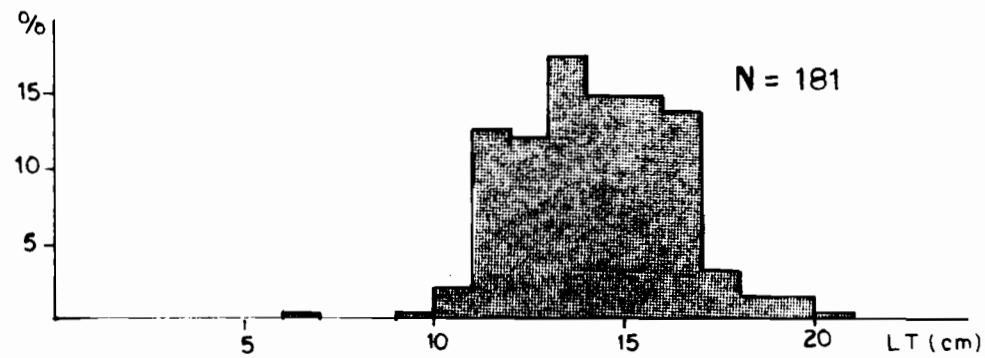
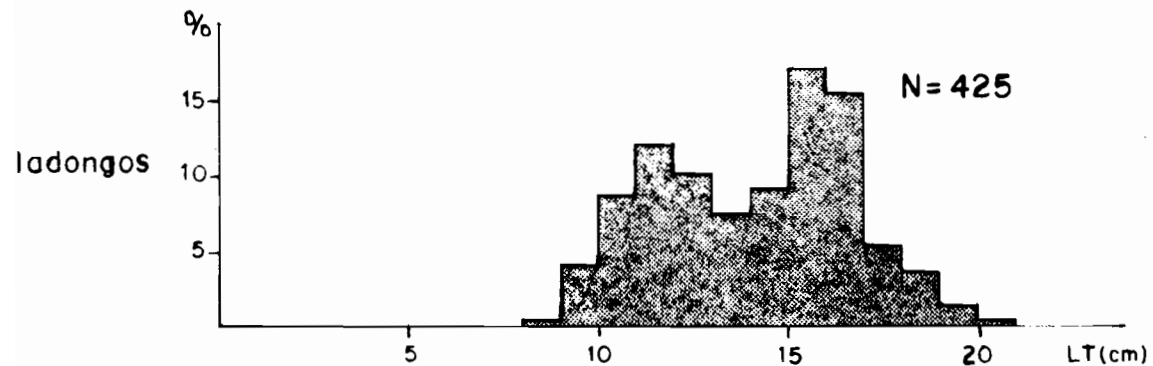
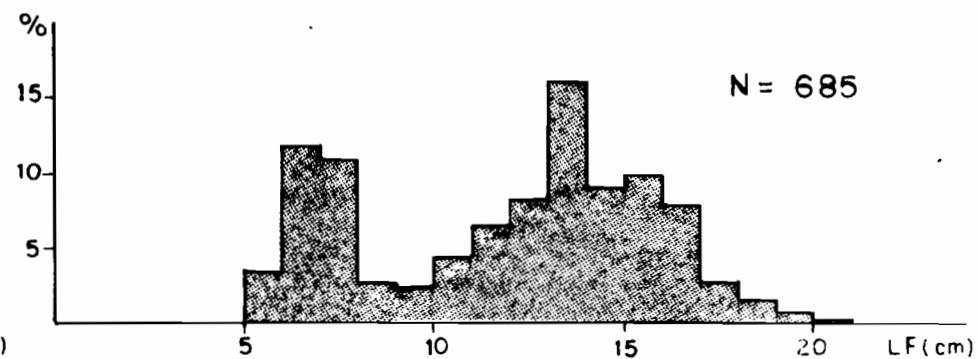
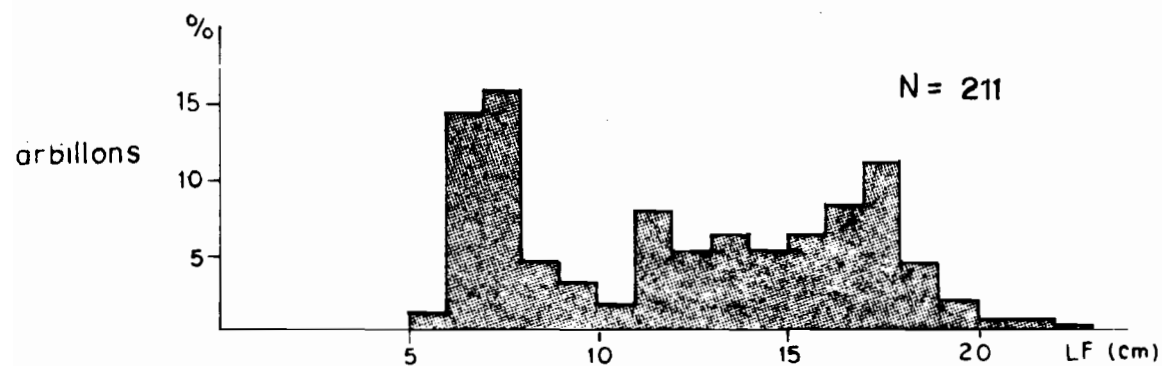
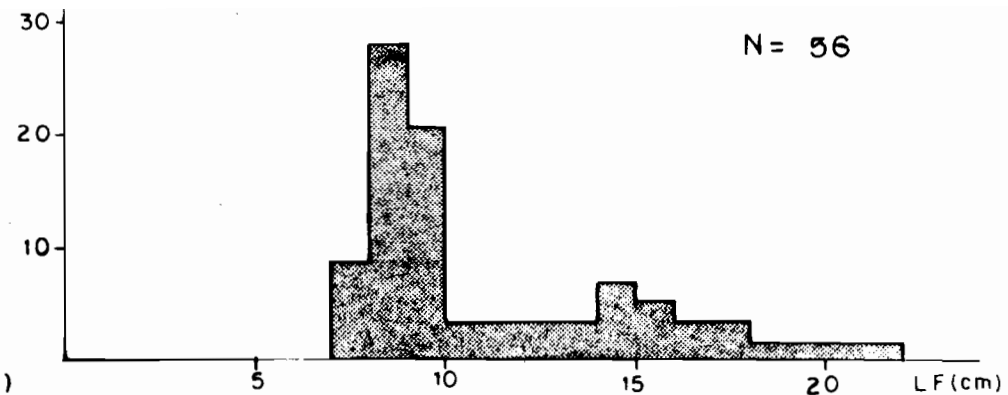
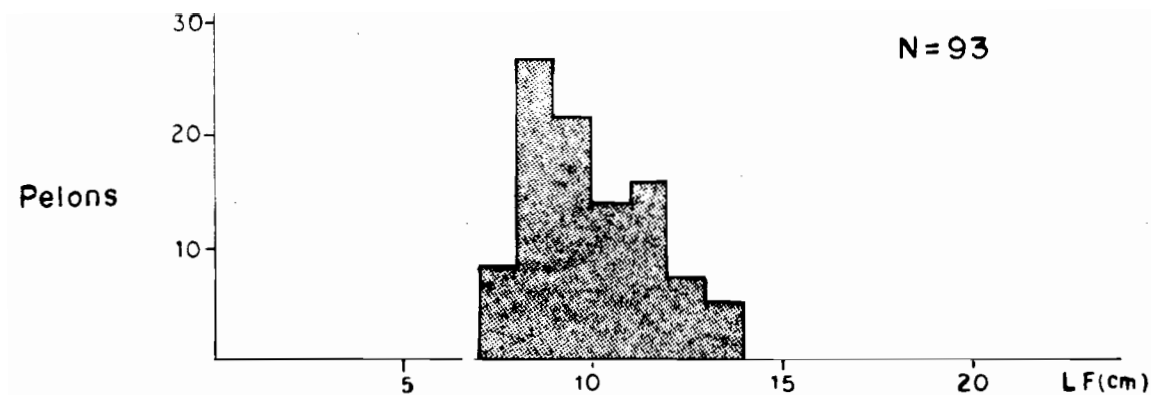


Distributions de frequence des longueurs cephalothoraciques de:

Fig. 1 bis, 2 bis, 3 bis, *Parapenaeus longirostris*

Fig. 4 bis *Aristeus varidens*

Courbes lissées par moyenne mobile sur 3 valeurs



Distributions de fréquence des longueurs (LF ou LT) des *Brachydeuterus auritus*, *Pentanemus quinquarius* et *Pteroscion peli*